

〈論 文〉

陰影寫眞의 畫像解析에 의한 디젤火焰에 관한 研究

張英俊* · 朴浩俊** · 神本武征***

(1990년 6월 13일 접수)

A Study on the Diesel Flame by Means of Image Analysis of Shadow Photographs

Young-June Chang, Ho-Joon Park and Takeyuki Kamimoto

Key Words : Diesel Flame(디젤火焰), Rapid Compression Machine(急速壓縮裝置), Incident Light Extinction Method(入射光減衰法), Instantaneous Shadow Photographs(瞬間陰影寫眞), Soot Formation & Oxidation(매연의 生成 및 酸化), Soot Concentration(매연의 濃度), Heat Release Rate(熱發生率).

Abstract

The formation and oxidation processes of soot particles in a diesel flame were investigated with a rapid compression machine. A cloud of soot particles was successfully visualized by means of the instantaneous laser shadow photographs technique and the equivalence ratio of the soot formation zone was estimated from a measured fuel concentration distribution in a non-evaporating spray. The temporal and spatial variation of soot concentration in the flame was also correlated with the rate of heat release. Soot particles appears first in a region near the flame tip when diffusion combustion period starts, and its concentration is a maximum at about the end of injection, then decreases due to oxidation. The reason for soot being formed in a fuel lean region near the flame tip is the evaporated fuel requires time to be pyrolyzed as it travels through the burning fuel rich zone towards the flame tip.

記 號 說 明

C_s : 매연濃度, kg/m^3	R_s : 매연變換率
D : 매연粒子的 直徑, m	r : 噴霧半徑方向의 距離, m
d : 노즐噴口徑, m	r_o : 噴霧의 半徑, m
l : 光學距離, m	t : 時間, ms
m_f : 噴射率, g/s	λ : 入射光의 波長, m
N : 매연의 數密度, m^{-3}	ρ_s : 매연의 密度, kg/m^3
Q_{ext} : 減衰係數	θ : 檢出半角, degree
Q : 熱發生率, kJ/s	τ : 透過率
	τ_d : 着火지연, ms
	ϕ : 當量比

*正會員, 釜山大學校 工科大學 精密機械工學科

**正會員, 釜山大學校 大學院

***東京工業大學 工學部 機械工學科

添 字

f : 燃料
 s : 매연
 $-$: 斷面內平均

火지연이 매연生成에 미치는 영향 및 매연生成과 熱發生率과의 관계를 밝힌다.

1. 序 論

디젤機關에서 배출되는 炭素狀微粒子 소위 매연 (soot)을 저감시키기 위해서 디젤火焰內에서 이 매연이 어떻게 生成되고 消滅되어가는가 하는 過程을 이해한다는 것은 중요한 일이다.

Aoyagi등⁽¹⁾은 직접적인 가스샘플링법에 의하여, 또 Matsui등⁽²⁾은 2色法에 의해 直接噴射式 디젤機關內의 매연의 生成消滅過程을 조사하였으며, Kamimoto등⁽³⁾은 이들의 실험자료를 이용하여 디젤火焰內의 매연의 酸化速度를 계산하여 매연의 酸化速度는 매연주위의 酸素分壓에 지배된다는 것을 밝혔다. 이들의 실험에 의하여 디젤火焰內의 매연의 生成酸化過程은 어느 정도 밝혀졌으나 實際機關內에서의 火焰의 舉動은 아주 복잡하기 때문에 디젤火焰內에서 매연의 生成消滅過程이 완전히 說明되었다고는 할 수 없다.

또 위와 같은 실험적인 研究 以外에, 디젤機關으로부터 배출되는 매연의 量을 예측하는 연구도 많이 행해졌다. Khan등⁽⁴⁾은 매연의 酸化過程을 무시하고, 매연은 Arrhenius 反應速度法則에 따라서 火焰內의 燃料濃도가 높은 영역에서 生成된다고 가정하였으며, 또 池上등⁽⁵⁾은 매연濃度豫測에 있어서 化學平衡이 準正常的으로 적용된다고 가정하였다. Mansouri등⁽⁶⁾은 間接噴射式 디젤機關으로부터 배출되는 매연을 化學量論的 모델에 적용하여 火焰內의 매연의 濃度를 계산하고 있다.

以上과 같은 化學平衡 혹은 Arrhenius의 反應速度法則에 근거를 둔 從來의 모델에서는 燃料의 濃도가 높을수록 매연이 많이 生成되고 있으나 急速壓縮裝置內의 單發噴霧火焰의 高速度寫眞에 의하면 當量比가 가장 높다고 생각되는 nozzle부근에서는 輝焰도가 아주 낮아 이 관측 결과는 上述한 가정과 모순된다고 생각된다.

따라서 本 論文에서는 急速壓縮裝置에서 實現된 單發噴霧火焰內의 매연을 레이저陰影寫眞法에 의하여 可視化하고, 火焰內의 매연濃도의 時間的, 空間的 分布를 조사한다. 또 前報⁽⁷⁾에서 측정된 非蒸發噴霧內의 當量比分布와 比較檢討하여 디젤火焰內의 매연 生成機構를 고찰하고, 霧圍氣條件에 따른 着

2. 測定原理

디젤火焰內의 매연濃度를 測定하는 方法에 있어서 두 종류의 測定方法을 이용하였다. 즉 火焰 전체의 매연濃度를 定性的으로 측정할 때에는 陰影寫眞의 畫像解析法을, 火焰의 局部的인 매연濃度를 定量的으로 측정할 때에는 레이저빔減衰法을 이용하였다. 이 두 측정방법은 모두 아래에서 說明하는 入射光減衰法의 原理에 기초를 두고 있다.

強度 E_0 , 波長 λ 인 單色平行光을 火焰內의 매연群에 入射시키면 火焰背後에서의 平行光의 強度 즉, 透過光의 強度는 E 로 감쇠한다. 이 때 연속스펙트럼을 갖는 火焰의 自發光은 中心波長 λ 인 狹帶域 밴드 패스 필터 (band pass filter)를 透過光檢出機側에 넣어서 제거한다. 直徑 D 인 매연粒子群이 均일하게 분산해 있고 또 光學距離가 짧은 경우에 透過光과 入射光의 比 즉, 透過率 τ 는 다음과 같이 나타낼 수 있다.

$$\tau = \frac{E}{E_0} = \exp\left(-Q_{ext} \frac{\pi}{4} D^2 N l\right) \quad (1)$$

여기서 N 은 매연粒子의 數密度, l 은 매연粒子群의 光學距離이다. Q_{ext} 는 減衰係數이며 $\pi D/\lambda \ll 1$ 인 경우에 다음과 같이 나타낼 수 있다.

$$Q_{ext} = \frac{24\pi D}{\lambda} f(n, k) \quad (2)$$

式 (2)에서 $f(n, k)$ 는 매연의 複素屈折率 $m = n - ik$ 에 의하여 정해지는 定數로 다음과 같이 표시할 수 있다.

$$f(n, k) = \frac{nk}{(n^2 + k^2)^2 + 4(n^2 - k^2) + 1} \quad (3)$$

한편 매연粒子의 濃度 C_s 는 매연粒子의 密度를 ρ_s 라 할 때

$$C_s = \rho_s \frac{\pi}{6} D^3 N \quad (4)$$

이기 때문에 식 (1), (2) 및 (4)에 의하여 C_s 와 τ 와의 관계는 다음과 같이 된다.

$$C_s = -\frac{\rho_s \lambda}{36\pi f(n, k)} \log \tau \quad (5)$$

透過率 τ 로부터 매연의 濃度 C_s 를 定量的으로

계산할 때 필요한 매연의 複素屈折率 m 은 Chippet 등⁽⁸⁾의 값 $m=1.9-0.35i$ 를 사용하였으며 매연의 密度 ρ_s 는 $1.8g/cc$ ⁽⁹⁾로 하였다.

3. 實驗裝置 및 實驗方法

3.1 實驗裝置

實驗에는 Fig. 1에 보이는 바와 같은 急速壓縮裝置^(10,11)를 사용하였다. 이 急速壓縮裝置의 燃燒室은 直徑이 196mm 폭이 40mm Pan-Cake型이며, 壓縮피스톤은 高壓窒素(70 氣壓)에 의하여 구동되며 油壓에 의하여 그 운동이 제어된다. 燃料의 噴射方向은 두 종류가 있으며 Fig. 2(a)와 같이 壁면에 영향을 받지 않도록 수직 방향으로 噴射하는 噴霧火焰을 自由噴霧火焰, Fig. 2(b)와 같이 수직으로 부터 45° 방향으로 噴射하여 壁면에 충돌하는 것을 衝突噴霧火焰이라고 부르기로 한다. 이 때 노즐噴口로부터 충돌위치까지의 거리는 약 31mm이다.

燃料의 噴霧는 펌프式 單發噴射裝置를 사용하였다. 이 噴射裝置에서는 펌프의 랙을 無噴射位置에

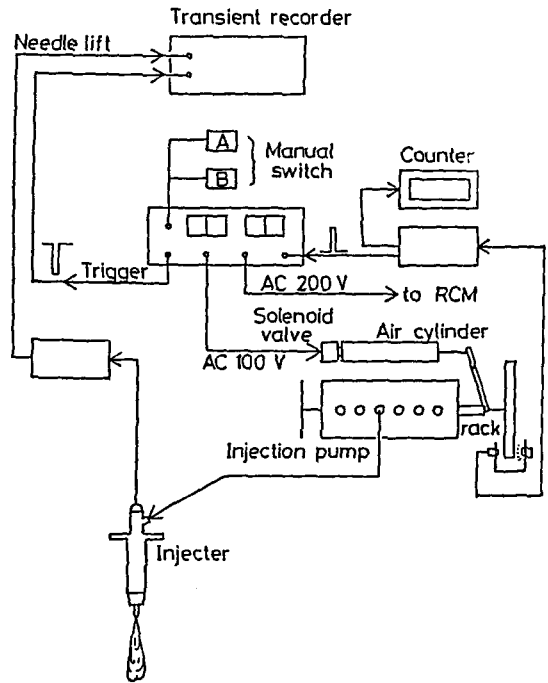


Fig. 3 Block diagram of injection system

두고서 噴射할 때 에어실린더에 의하여 랙을 소정의 위치까지 1회만 움직이는 單發方式을 채용하고 있다. Fig. 3은 이 噴射系의 系統圖를 나타낸 것이다.

3.2 陰影寫眞法

本 實驗에서는 瞬間陰影寫眞法을 이용하였으며 Fig. 4는 이 光學系를 나타내고 있다. 光源으로서는 發振波長 694.3nm, 出力 에너지 40MW, 發振時間 25msec인 루비펄스레이저를 사용하였다. 發振된 레이저는 Fig. 4의 렌즈 1 및 2에 의하여 넓

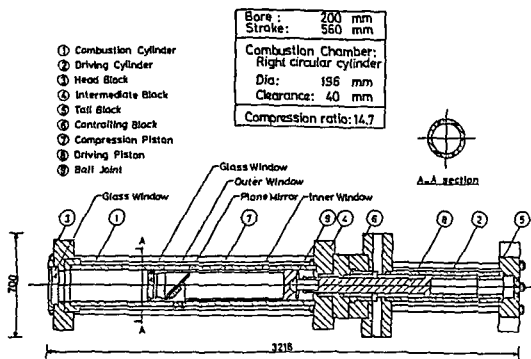


Fig. 1 Rapid compression machine

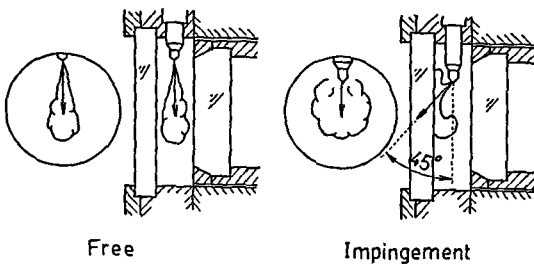


Fig. 2 Direction of fuel injection for free flame and impinging flame

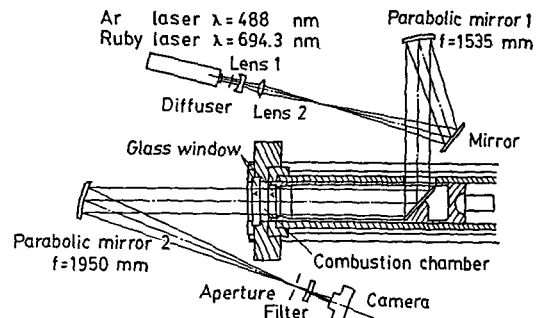


Fig. 4 Optical system of instantaneous shadow photographs

게 퍼진후 오목거울 1에 의하여 平行光으로 되어, 燃燒室內를 통과하면서 入射光의 일부가 火焰內에 生成된 매연粒子에 의하여 減衰되고, 오목거울 2에 의하여 集光되어, 그 前方에 놓여진 카메라에 入射된다. 焦圖面에는 燃燒室中에 존재하는 가스의 密度勾配에 의한 슈리렌效果를 조절하기 위하여 口徑(aperture)을 둔다. 또 火焰의 自發光에 의한 影響을 消去하기 위하여 口徑과 카메라 사이에 中心波長 694.3mm, 半值幅 5mm인 干涉필터를 두었다. 光量의 조절 및 光原의 強度를 均일하게 하기 위하여 레이저와 렌즈 1 사이에 散亂膜을 두 장 넣었다. 필름으로는 팬크로메타입(Fugi. Neopan 400)을 사용하였으며, 焦點距離 300mm인 렌즈를 사용하여 35mm 카메라(Nikon FE2)로 촬영하였다.

火焰內的 매연粒子에 의한 散亂光強度는 吸收光強度에 비하여 대단히 작아 무시할수 있기 때문에 매연에 의한 入射光減衰量을 측정할 때 減衰量은 口徑의 크기에는 관계가 없다. 그러나, 燃料蒸氣나 燃燒가스의 密度勾配에 기인하는 슈리렌效과는 口徑이 작을수록 강하게 된다. 매연粒子에 의한 入射光減衰效果만을 檢出하고자 할 경우에는 슈리렌效과가 무시될 수 있도록 口徑의 直徑을 크게하면 좋겠지만 매연의 生成은 火焰의 거동과 관련시켜서 고찰하여야 하므로 火焰 全體的인 境界의 變化도 관찰하여야 한다. 따라서 口徑의 크기는 충분히 검토하여 선택하였다. Fig. 5는 口徑의 크기가 陰影寫眞에 미치는 영향을 나타낸 것이다. 口徑이 큰 경우에는 매연粒子群의 陰影만이 나타나 있으나 口徑의 直徑이 작은 경우에는 매연粒子群의 陰影과 동시에 火焰의 密度勾配에 의한 明暗도 나타나 있다. 本 研究의 目的을 고려하여 直徑 10mm인 口徑를 사용하였으며 이것의 檢出半角은 約 0.19°이다.

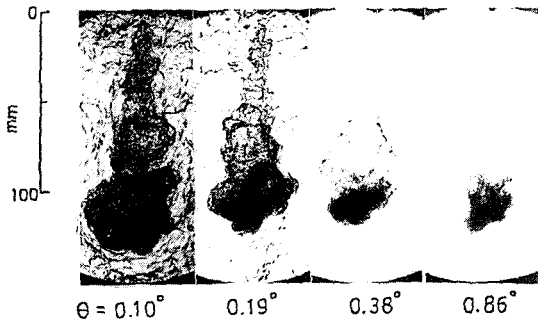


Fig. 5 Effect of aperture size on sensitivity of density gradient in flame

3.3 레이저빔 減衰法

디젤 火焰內的 매연濃度를 定量的으로 측정하기 위하여 레이저빔 減衰法을 이용하였다. 光原으로서 는 發振波長 632.8mm, 出力에너지 25mW, 빔 直徑이 1.3mm인 He-Ne레이저를 사용하였다. 레이저빔이 半透明鏡에 入射하기 전에 레이저빔을 기계적으로 斷續하는 2kHz의 초퍼(chopper)가 있다. 火焰內的 매연群을 통과하여 強度가 減衰한 레이저빔은 噴射軸으로부터 90mm 떨어져 놓여 있는 Mylar 散亂膜을 통하여 光電子增培管에 檢출된다. 이 때 透過率 τ 는 다음과 같이 나타낼 수 있다.

$$\tau = (E_t - E_r) / E_o \quad (6)$$

여기서 E_o 는 火焰이 없을 때 레이저빔 만에 의한 檢出強度, E_r 는 레이저와 火焰 사이에 초퍼가 닫혔을 때 火焰만에 의한 檢出強度, E_t 는 초퍼가 열려 있을 때의 檢出強度로 透過光의 強度와 E_r 의 합과 같다.

3.4 實驗條件

Table 1에 供試노즐과 噴射條件을, Fig. 6에 Bosch式으로 측정한 噴射率을 나타내었다. 노즐은 노즐孔의 形狀비가 3.0인 hole type을 사용하였으

Table 1 Injection conditions

Fuel	n-tridecane
Nozzle opening pressure	21.7MPa
Nozzle dia.	0.2mm
Inj. duration	3.0ms
Fuel amount	16.0mg
I/d	3.0
Pump speed	750rpm

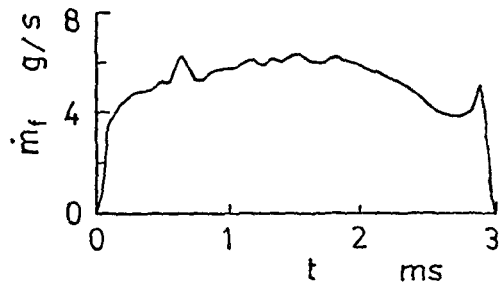


Fig. 6 Rate of fuel injection at condition shown in Table 1

Table 2 Surrounding atmosphere conditions

Series	Atmosphere	Initial temp. T_1 K	Pressure P_2 MPa	Temp. T_2 K	Density ρ_2 kg/m ³	Ignition delay ms
Non-evaporating spray	N ₂	—	1.24	288	15.1	—
Evaporating spray	N ₂	340	2.93	700	14.7	—
Flame S	Air	320	3.23	720	15.7	1.0
Flame L	Air	300	3.13	660	16.7	1.8
Flame I	Air	320	3.08	690	15.6	1.3

며 平均噴射率은 5.3g/s이다. 自動車用 디젤機關의 燃料로서는 輕油가 흔히 사용되고 있으나 現在 판매되고 있는 輕油는 製造會社와 製造日時에 따라 그 組成이 조금씩 다르기 때문에 輕油와 비슷한 組成을 갖고 또 化學的 特性을 알 수 있는 순수한 n-tridecane(C₁₃H₂₈)을 사용하였다. Table 2는 實驗을 행한 雰圍氣條件이며, 高壓室溫 窒素雰圍氣中에 噴射된 噴霧를 蒸發噴霧라고 한다. 또 高壓高溫의 空氣中에 噴射된 경우, 즉 着火가 일어나는 경우는 着火지연이 1.0ms인 경우의 火焰을 S, 1.8ms인 경우의 火焰을 L이라고 하고 衝突火焰인 경우는 火焰 I라고 하기로 한다.

熱發生率은 急速壓縮裝置 燃燒室內의 氣가 均一性狀을 갖고 있는 理想氣體로 가정하여 그 特性式과 실측한 壓力上昇率을 이용하여 구하였다. 즉 急速壓縮裝置 燃燒室의 壓力은 급속압축된 後 벽면 등으로 부터의 熱損失 때문에 壓力은 거의 일직선으로 서서히 강하하여 간다. 燃料가 噴射되기 시작하여 燃料의 蒸發에 의한 吸熱로 인하여 熱損失分以上으로 壓力은 강하하고, 그 후 燃燒에 의한 壓力上昇이 시작된다. 따라서 연료 분사가 있기 前의 壓力降下線과 연소에 의한 壓力線과의 차이를 실측하여 熱發生率을 계산하였다. 또 本 研究에서는 壓力이 最小되는 위치를 着火點으로 보고 valve lift로부터 실측한 噴射開始로부터 이 점까지를 着火지연으로 定意하였다. 착화지연기간은 실린더의 加熱 및 給氣를 豫熱하여 조절하였다.

4. 實驗結果 및 考察

4.1 매연生成領域

Fig. 7은 非蒸發噴霧, 蒸發噴霧 및 着火지연이 1

ms인 火焰의 一連의 瞬間陰影寫眞 및 同火焰의 直接寫眞을 나타낸 것이다. 그림 中의 t 는 噴射開始로부터의 경과 시간을 의미한다.

먼저, 非蒸發噴霧와 蒸發噴霧를 비교해 보면, 蒸發噴霧의 陰影 濃度는 噴霧先端部近에서 낮아져 있다. 이것은 噴霧先端部에 燃料蒸氣가 존재하고 있는 것을 나타내고 있다. 또 蒸發噴霧에서는 노즐噴口近方에 液相燃料의 존재를 나타내는 길이 40~50mm의 가늘고 긴 검은 陰影이 보이며, 이것은 噴射된 燃料가 分裂蒸發하는 시간에 대응하는 거리로 생각된다.

蒸發噴霧와 火焰을 비교해 보면 噴射期間 중에 노즐噴口근방의 가늘고 긴 陰影의 길이는 火焰인 경우가 조금 짧으나 이것은 溫度가 높기 때문이라고 생각된다. 여기서 가장 주목하고 싶은 것은 火焰의 先端部近에 蒸發噴霧에서는 보이지 않는 검은 陰影부분이 나타나 있는 점이다. 또 이 火焰의 검은 陰影부분은 火焰의 直接寫眞에서 輝焰部分과 거의 일치하고 있다. 따라서 이 火焰先端部の 검은 陰影은 火焰內에 존재하는 매연粒子群에 의하여 入射光이 吸收된 것으로 판단된다.

이 部分의 매연 粒子濃度を 定量的으로 조사하기 위하여 레이저빔 減衰法에 의하여 실험을 행한 결과는 Fig. 8과 같다. 이것은 噴射開始로부터의 시간 t 를 파라미터로하여 噴射軸에 따라서 측정한 매연濃度 C_0 의 分布를 나타낸 것으로 噴射된 燃料에 함유되어 있는 炭素分中에서 매연으로 변환된 炭素의 質量比, 즉 매연變換率 R_0 의 時間的 변화도 나타나 있다. Fig. 7과 Fig. 8로부터 매연濃도가 높은 領域이 火焰의 輝焰領域과 全般的으로 잘 일치하고 있는 것을 알 수 있다.

以上과 같이 陰影寫眞에서 볼 수 있는 검은 陰影

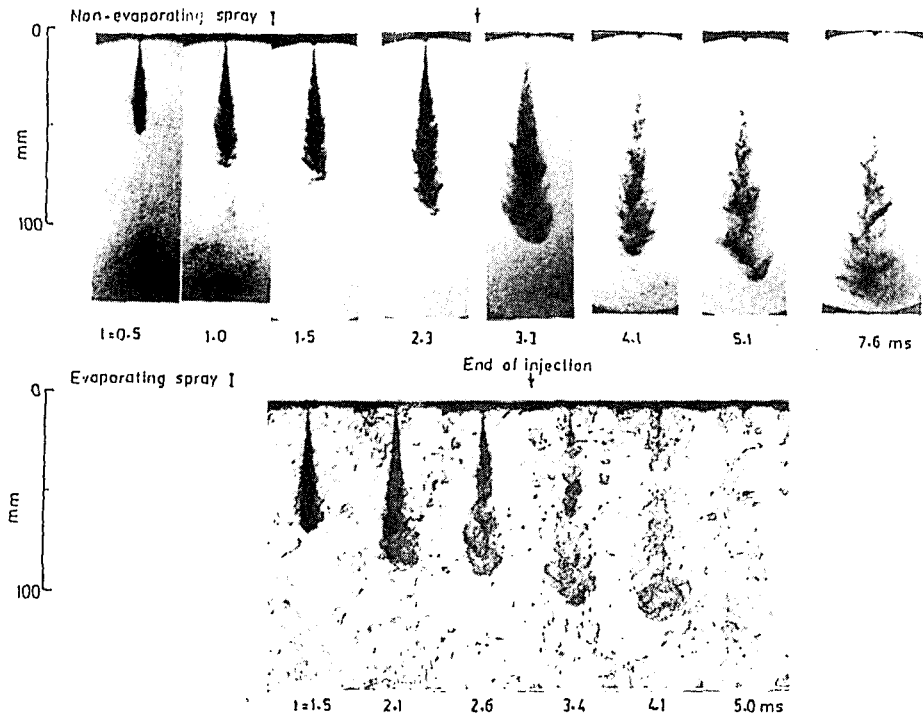


Fig. 7(a) Series of instantaneous shadow photographs of non-evaporating spray and evaporating spray

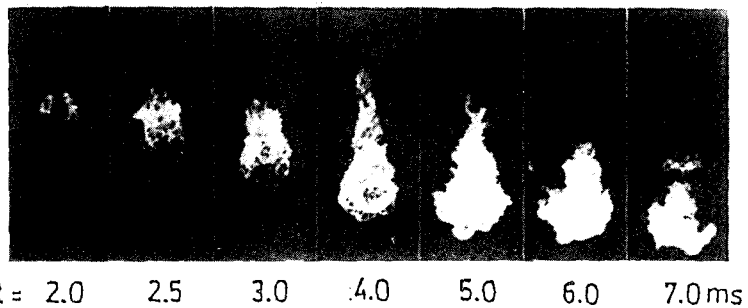
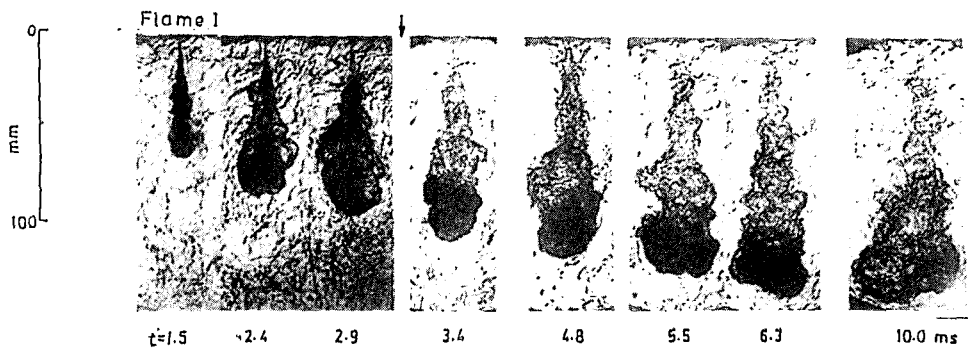


Fig. 7(b) Series of instantaneous shadow photographs of flame(ignition delay 1.0ms) and direct photographs of the flame

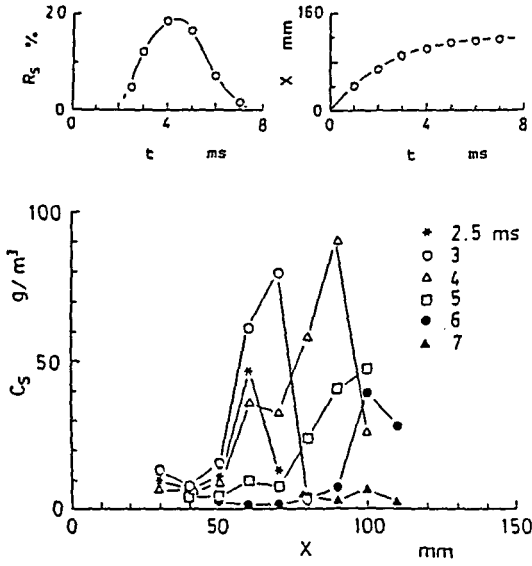


Fig. 8 Variation of soot concentration C_s along spray axis against distance X from nozzle orifice with time as parameter, variation of conversion rate of carbon to soot R_s with time, and tip penetration with time

부분은 매연粒子가 존재하고 있는 領域인 것이라고 판단할 수 있을 것이다. 이 火焰의 경우 매연은 노즐噴口로부터 約 70 mm의 위치에서 生成되어 그 濃度 C_s 는 噴射開始後 3~4 ms에서 최고치에 달한 후 점차 酸化되어 감소한다. Fig. 8을 보면 매연變換率 R_s 는 噴射終了後 1 ms에서 20%에 달하고 있다.

4.2 매연生成과 熱發生率의 關係

(1) 着火 지연이 1.0 ms인 경우

着火 지연이 1.0 ms인 경우의 瞬間陰影寫眞과 熱發生率을 나타낸 것이 Fig. 9이다. 매연은 初期燃燒期間中에는 나타나지 않고, 擴散燃燒가 시작함과 동시에 火焰先端부근에서 급속히 生成된다. 이 매연은 노즐噴口로부터 火焰先端部에 걸쳐서 발생하고, 그 濃度는 噴射終了後인 熱發生率이 거의 最高로 되는 $t = 3 \sim 3.5$ ms에 가장 높게 된다. 陰影의 濃度 gray scale과 비교해 보면 $t = 3$ ms에 있어서 透過율은 數 % 정도로 되고 이것은 매연농도로 하여 $10g/m^3$ 에 상당한다. 그 후 시간이 경과함에 따라 火焰先端은 이동하면서 擴散 또는 酸化되어 매연의 濃度は 감소한다. 그러나 燃燒期間의 後半인 $t =$

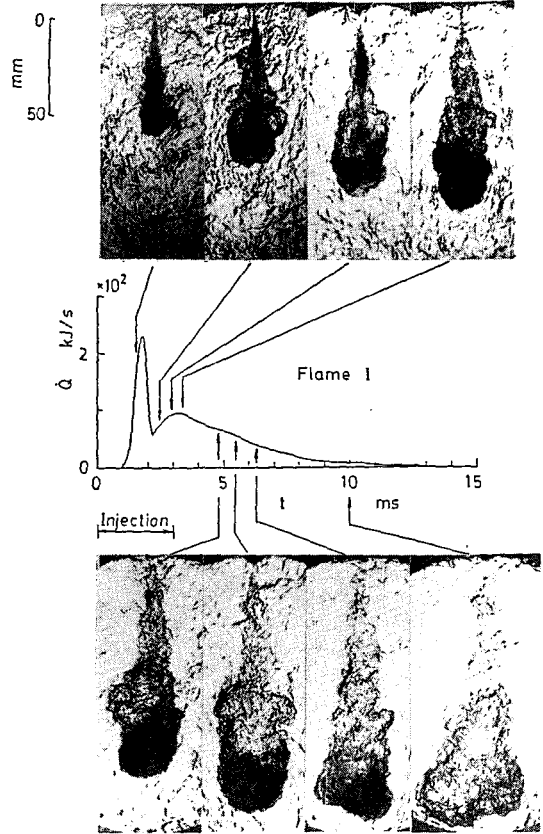


Fig. 9 Instantaneous photographs and heat release rate of flame I

6.4ms에 있어서도 매연은 계속 존재하고 있다.

그런데 非蒸發噴霧, 蒸發噴霧 및 火焰의 先端到達거리를 비교해 보면 Fig. 10에서 알수 있는 바와 같이 거의 같다. 또 小林等⁽¹¹⁾에 의하면 着火 지연이 짧은 自由噴霧火焰의 空氣導入量은 非蒸發噴霧의 空氣導入量과 거의 같다. 따라서 火焰中心軸方向의 當量比分布는 非蒸發噴霧의 軸方向의 當量比分布와 거의 같다고 假定하여 前報⁽⁷⁾에서 구한 非蒸發噴霧의 當量比分布曲線에 매연生成領域을 나타낸 것이 Fig. 11이다. 그림 中の ϕ 는 噴射軸方向의 斷面平均當量比를 나타낸다. ϕ_a 는 斷面內의 燃料濃度分布를

$$\phi(r) = \phi_a(1 - (r/r_0)^{3/2}) \quad (7)$$

로 가정하여 ϕ 로부터 계산한 噴霧中心軸上의 當量比이다. 여기서 r 은 半徑方向의 거리, r_0 는 噴霧의 半徑이다. 그림 中の 斜線部가 매연生成領域이

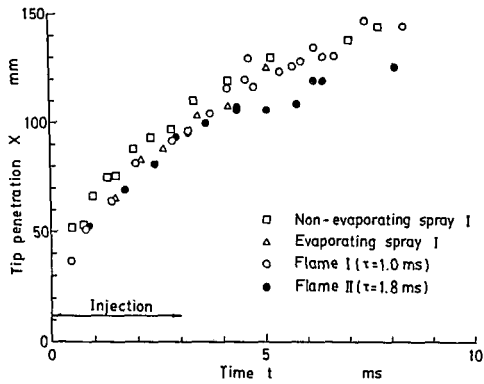


Fig. 10 Tip penetration of non-evaporation spray I, evaporating spray I, flame I and flame II

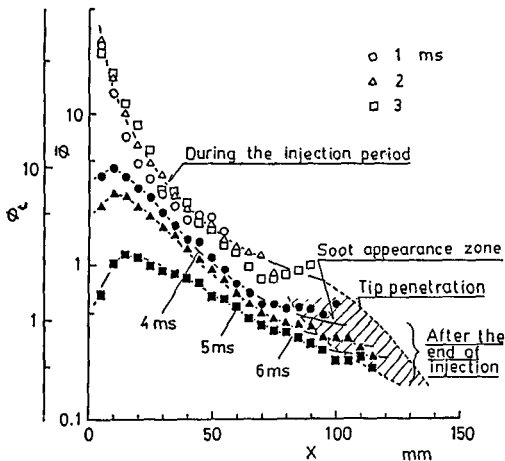


Fig. 11 Equivalence ratio ϕ versus distance X with time as a parameter measured on non-evaporating spray I and soot formation zone estimated from instantaneous photographs of flame I (ϕ : ϕ along spray axis, ϕ : ϕ averaged in cross section perpendicular to spray axis)

다. 매연生成領域의 $\bar{\phi}$ 는 1以下로 되어 있으나 $\bar{\phi}$ 가 1以下이더라도 火焰中心軸上에서 ϕ 가 1以上인 混合氣의 小塊가 불균일하게 존재하고, 매연은 주로 그와 같은 部分에서 生成되리라고 생각된다. 일반적인 경우에는 當量比가 1.5以上에서 매연이 生成된다고 報告되어 있기 때문이다. 평균적으로 보아서 매연이 當量比가 가장 낮은 火焰先端 가까운 領域에서 生成된다고 하는 이 사실은 從來의 디젤 火焰의 시뮬레이션등에서 제안된, 매연은 燃料過濃

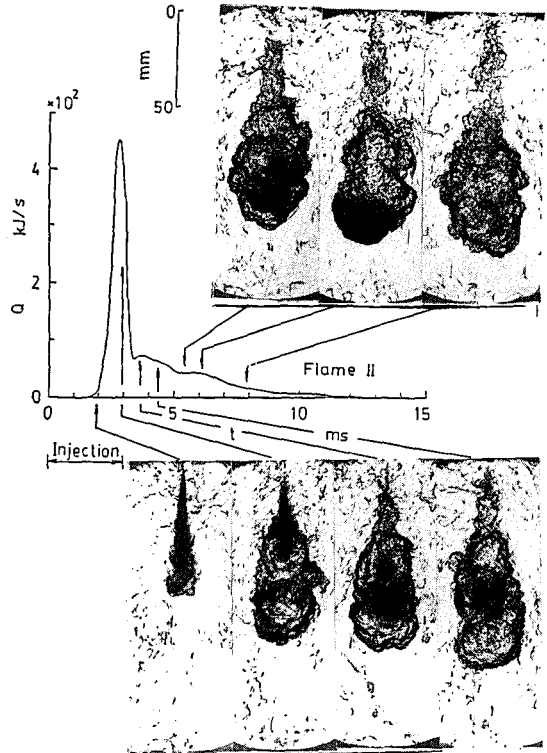


Fig. 12 Instantaneous photographs and heat release rate of flame II

領域에서 生成된다는 모델을 否定한다.

매연이 노즐噴口근방의 燃料過濃領域에서 生成되지 않고, 노즐噴口에서 떨어진 $x \geq 70$ mm인 當量比가 낮은 領域에서 生成된다는 것은, 이 領域에서 混合이 進行되고 燃燒溫度가 높기 때문이라고 예측된다. $40 \text{ mm} \leq x \leq 70 \text{ mm}$ 인 燃料過濃이고 비교적 溫度가 낮은 領域에서는 三輪등⁽¹²⁾이 가스샘플링실험에서 보인 바와 같이 燃料의 熱分解가 일어나 C_2H_2 등 매연의 前驅物質이라고 생각되고 있는 物質이 生成되고 있다고 사료된다.

(2) 着火지연이 1.8 ms인 경우

着火지연이 1.8 ms인 경우의 瞬間陰影寫眞과 熱發生率을 Fig. 12에 나타내었다. 着火지연이 1.0 ms인 경우에 비하여 매연의 生成量이 전반적으로 작고, 또 매연이 최초로 나타나는 領域도 火焰先端部보다 火焰中心部에 있다. 이것은 着火지연이 길어질수록 噴射된 燃料과 空氣와의 混合이 잘 이루어지고 따라서 초기의 豫混合氣의 燃燒가 燃燒全體에서 차지하는 비율이 높아지고, 初期燃燒時의 급

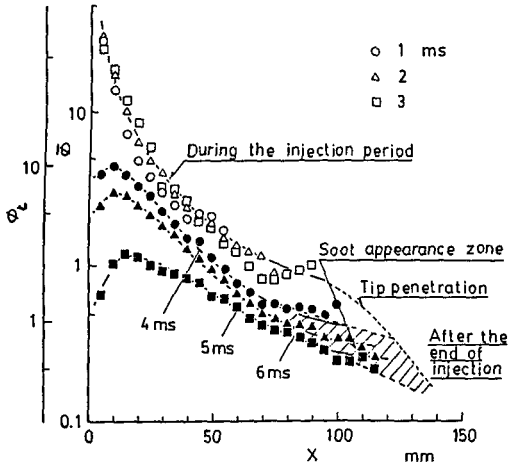


Fig. 13 Equivalence ratio on non-evaporating spray 1 and soot formation zone of flame I

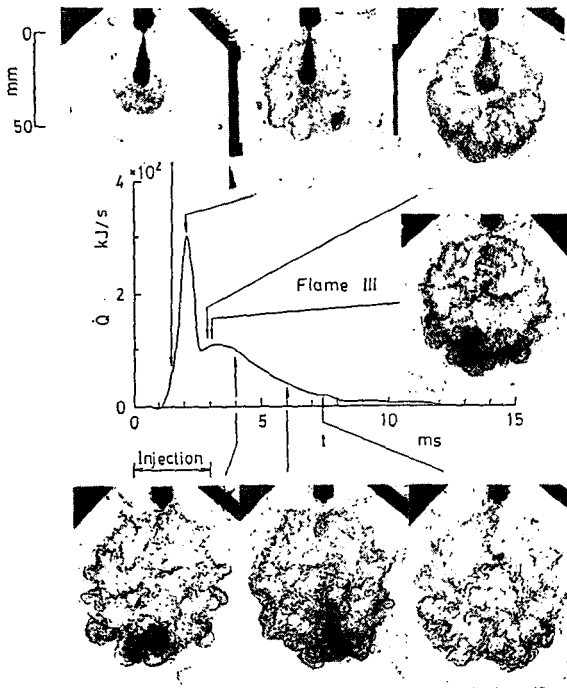


Fig. 14 Instantaneous photographs and heat release rate of flame III

격한 熱膨脹이 空氣導入率을 촉진시키기 때문이라고 생각된다. 즉 이 火焰의 경우, 着火지연이 짧은 火焰에 비하여, 매연生成이 억제되는 동시에 酸化가 촉진된다고 생각된다. 着火지연이 1.0 ms인 경우와 마찬가지로 非蒸發噴霧의 當量比分布曲線상에

매연의 生成領域을 나타내 본 것이 Fig. 13이다. 噴射終了後는 火焰中央部 부근에서 生成된 매연은 下流로 輸送되면서 酸化, 消滅된다.

(3) 壁面に 衝突하는 경우

Fig. 14에 衝突距離 31 mm, 衝突角度 45°인 衝突 火焰이 瞬間陰影寫眞과 熱發生率을 나타내었다. 衝突距離 31 mm는 Fig. 9와 13의 自由噴霧火焰의 液相部の 길이보다 짧기 때문에 燃料의 일부는 液相인 상태로 衝突하고 있다고 생각된다. 着火지연은 1.3 ms이나 着火지연이 1.8 ms인 自由噴霧火焰보다도 매연의 生成量은 작은 것처럼 보이는데 이것은 衝突에 의하여 混合이 촉진되었기 때문이라고 생각된다. 衝突에 의한 混合의 促進 効果는 着火지연이 1.0 ms인 自由噴霧火焰보다 燃燒기간이 짧아져 있고 擴散燃燒期間의 熱發生率이 높게 되어 있는 것으로도 알 수 있다.

4.3 디젤火焰의 매연生成, 消滅機構

以上에서 디젤噴霧火焰내의 매연生成消滅에 대하여 論하여 왔으나 以下 本 實驗의 結果에 從來의 研究를 참조로 하여 디젤噴霧火焰內의 매연生成, 消滅機構를 熱發生率과 관련시켜서 考察하기로 한다. Fig. 15는 디젤火焰內의 매연生成消滅機構의 概念을 나타낸 것이다.

(1) 着火지연期間

三輪等⁽¹²⁾은 直接가스샘플링법을 이용하여 實際機關內의 디젤火焰의 化學成分濃度を 측정하여, 노즐噴口에서 40 mm보다 下流에서는 蒸發한 燃料가 高溫의 空氣와 燃燒生成物로부터 주어지는 熱에 의하여 급격히 熱分解가 일어나고, 노즐噴口에서 멀어질수록 CH_4 , C_2H_2 및 C_2H_4 와 같은 熱分解物質의 濃도가 높게 되어 있다고 보고한 바 있다. 急速壓縮裝置內의 디젤噴霧火焰에 있어서도 약 1 ms인 着火지연기간 중에는 이것과 같은 현상이 일어나고 있다고 생각된다.

(2) 初期燃燒期間

着火지연기간중에 형성된 燃料蒸氣, 可燃性 熱分解生成物, 中間熱生成物등과 空氣와의 混合氣가 거의 동시에 燃燒하고, 火焰의 體積은 급격히 膨脹한다. 동시에 燃燒室의 壓力도 上昇한다. 直接寫眞의 관찰에 의하면 火焰은 不輝焰이고 또 陰影寫眞에는 검은 陰影이 보이지 않는다. 즉 火焰中에는 아직 매연은 生成되어 있지 않다. 그러나 液相領域 바로 下流에 있는 濃混合氣는 火焰周邊部의 高溫燃燒生

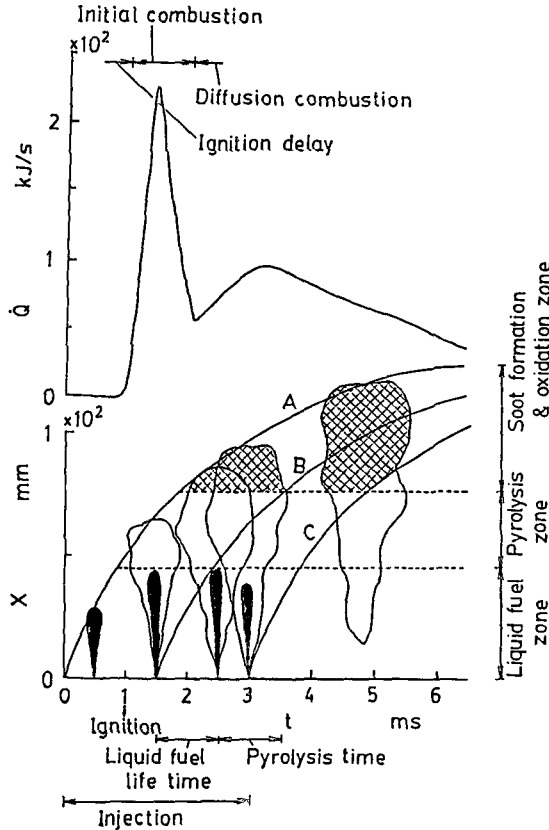


Fig. 15 Illustration of concept of soot formation in diesel flame

成物로부터 熱을 받아 熱分解가 급격히 行된다고 생각된다. 이 過濃混合氣는 火焰 中心部에 도입된 燃燒生成物이나 空氣와의 混合을 계속하면서 下流 즉 火焰先端部로 흘러가면서 熱分解, 重合 및 凝集 등의 과정을 거친다고 생각되어진다.

(3) 擴散燃燒期間

初期燃燒가 끝나고 擴散燃燒가 시작될 때 噴霧 火焰先端 부근에 煤煙이 나타난다. 靑柳 등⁽¹⁾의 直接 噴射式 디젤機關의 가스샘플링法에 의한 研究結果에 의하면 擴散燃燒의 開始와 동시에 火焰 先端部에 煤煙이 검출되고 있다. 이 結果는 火焰 先端部에서 最初로 나타나는 것은 熱分解를 계속하면서 이동하는 混合氣가 平均當量비가 낮고 溫度가 높은 火焰先端領域에 이르러 급속하게 煤煙을 生成하기 때문이라고 추정된다.

Fig. 15에서 곡선 A는 디젤 噴霧火焰의 先端에 到達 距離이다. 또 곡선 B 및 곡선 C는 각각 $t=1.5$ ms 및 3.0 ms(噴射終了時)에 噴射된 燃料의 到達距離

로 燃料가 準定的으로 飛行한다고 가정하여 곡선 A를 각각의 시간만큼 平行移動시킨 것이다.

디젤 噴霧火焰은 Fig. 15와 같이 $x \leq 40$ mm인 液相領域, $40 \text{ mm} \leq x \leq 70$ mm인 熱分解領域 및 $x \geq 70$ mm인 煤煙生成酸化領域인 3領域으로 大別할 수 있으며, 어떤 시각에 噴射된 燃料의 時間的인 履歷도 이들 領域에 체재하는 시간에 대응시켜서 液相 壽命時間, 熱分解時間 및 煤煙生成酸化時間으로 나눌 수 있다.

擴散燃燒期間中에 噴射된 燃料는 分裂 微粒化하여 蒸發을 宗了할 때까지는 液相인 상태이며 이 領域은 Fig. 15에서 보는 바와 같이 노즐 噴口로부터 약 40 mm이다. 이에 대응하는 약 1 ms의 시간이 液相 壽命時間이다. 蒸發宗了와 동시에 燃料蒸氣는 火焰周邊部の 高溫의 燃燒가스와 混合하여 高溫으로 되고, 低級炭化水素는 熱分解한다. 이 熱分解生成物은 燃燒蒸氣와 더불어 火焰先端部로 이동하여 가면서 그 일부는 燃燒를 하지만 일부는 煤煙 前驅

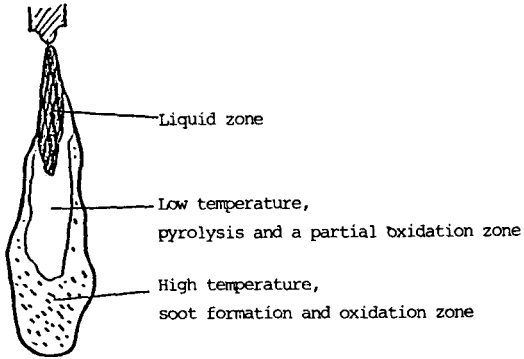


Fig. 16 Constructions of diesel flame in diffusion combustion period

物質로 된다고 생각된다. 이 영역을 열분해영역이라고 하고 이에 대응하는 1ms의 시간을 열분해시간이라고 부른다. 정상분무화염에 있어서도 매연이 생성되는 것은 노즐구로부터 어느 정도 거리가 떨어진 下流이며, 확산燃焼期間 중의 디젤화염은 정상분무화염과 類似한 構造를 갖고 있다고 생각된다.

陰影寫眞에 의하면 매연은 화염先端부근에서 명확하게 보이나 Fig. 7의 화염은 直接寫眞에 의하면 本報에서 말하는 열분해영역도 화염先端부에 비하여 輝도는 낮으면서 대체로 일정한 輝도에 달하고 있다. 이것은 이 부분에서는 濃도는 낮으나 매연 또는 매연 前驅物質의 存在를 나타내고 있다고 생각된다.

화염의 高速度 네가티브 칼라寫眞을 2色法の 原理에 의하여 畫像解析한 安⁽¹³⁾의 결과를 보면 화염 中心軸方向의 輝도의 溫度分布는 열분해영역, 매연 生成영역이 모두 비교적 일정하게 되어 있으나 매연 濃도는 화염先端부가 압도적으로 높다. 결국 열분해영역에서도 주위의 空氣와 접하는 화염周邊部는 화염溫度가 높기 때문에 매연이 生成되고 있다고 생각된다. 따라서 확산燃焼期間中의 화염은 Fig. 16과 같이 燃料의 液相영역, 열분해영역 및 매연 生成酸化영역의 構造를 갖고 있다고 사료된다.

(4) 噴射終了後

噴射終了直後 매연 生成量은 최고로 되고, 그 후에 매연은 화염先端부와 더불어 下流로 이동을 계속하면서 酸化消滅 되어간다. 噴射開始後 7~8ms 정도가 되면 亂流擴散 및 酸化에 의하여 대부분의 매연이 소멸된다.

5. 結 論

急速壓縮裝置內의 燃焼室에 實現된 디젤噴霧화염內의 매연을 레이저 陰影寫眞法에 의하여 可視化하고 매연 生成에 미치는 着火지연, 衝突등의 影響 및 매연 生成消滅과 熱發生率의 關係를 밝혔다. 또 前報에서 測定한 非蒸發噴霧의 當量比分布와 매연 生成領域과의 關係에 대하여 考察하여 다음과 같은 結論을 얻었다.

(1) 着火지연이 約 1ms인 경우, 매연은 擴散燃焼의 開始와 동시에 화염先端部에 나타나, 噴射終了直後에 매연 濃도는 最高로 된다. 그 후 酸化에 의하여 점차 消滅해간다.

(2) 매연이 平均적으로 當量비가 낮은 화염先端부에 生成되는 理由는 蒸發한 燃料가 熱分解하여 매연의 前驅物質을 거쳐서 매연으로 될 때까지에는 시간을 필요로 하고, 매연 生成이 급속하게 진행되기 위해서는 燃焼가 활발한 高溫場이 필요하다고 생각된다.

(3) 着火지연이 1.8ms로 긴 경우에는 매연이 화염 中央에서 발생하나, 매연 濃도는 着火지연이 1ms인 경우에 비하여 낮고, 매연의 酸化消滅도 빠르다.

(4) 衝突화염인 경우는 衝突하지않는 火爐에 비하여 擴散燃焼期間中의 熱發生率이 높고 燃焼期間도 짧다. 또 화염內의 매연 生成量도 작아진다. 이것은 衝突에 의하여 混合이 촉진된 것이기 때문이라고 생각된다.

참 고 문 헌

- (1) Aoyagi, Y., Kamimoto, T., Matsu, Y. and Matsuoka, S., 1980, "A Gas Sampling Study on the Formation Processes of Soot and No in a DI Diesel Engine", SAE Paper No. 800254.
- (2) Matsu, Y., Kamimoto, T., and Matsuoka, S., 1982, "Formation and Oxidation Processes of Soot Particulates in a DI Diesel Engine-An Experimental Study via the Two-color Method", SAE Paper No. 8204464.
- (3) Kamimoto, T., Matsuoka, S. and Miyari, Y., 1982, "Soot Oxidation Rate in the Flame in a DI Diesel Engine", IMech E, C 103/82, pp. 259~265.
- (4) Khan, I.M., Greeves, G., and Wang, C.H.T., 1973,

- "Factors Affecting Smoke and Gaseous Emissions from Direct Injection Engines and a Method of Calculation", SAE Paper No. 730169.
- (5) 池上詢, 鹽路昌宏, 1981, "ディーゼル機関の黒煙生成の豫測", 内燃機関合同シンポジウム講演論文集 (81-1-27), pp. 163~168.
- (6) Mansouri, S.H., Heywood, J.B., and Radhakrishnan, K., 1982, "Divided-Chamber Diesel Engine, Part 1; A Cycle-Simulation Which Predicts Performance and Emissions", SAE Paper No. 820273.
- (7) 張英俊, 神本武征, 1988, "陰影寫眞의 畫像解析에 의한 디젤噴霧의 研究", 大韓機械學會論文集, 第12卷, 第2號, pp. 319~327.
- (8) Chippett, S., and Gray, W.A., 1978, "The Size and Optical Properties of Soot Particles", *Combustion and Flame*, 31, pp. 149~159.
- (9) Park, C., and Appleton, J.P., 1973, "Shock Tube Measurement of Soot Oxidation Rates", *Combustion and Flame*, 20, pp. 369~379.
- (10) Kamimoto, T., Kobayashi, H., and Matsuoka, S., 1981, "A Big Size Rapid Compression Machine for Fundamental Studies of Diesel Combustion", SAE Paper No. 811004.
- (11) Kobayashi, H., Kamimoto, T., and Matsuoka, S., 1981, "A Photographic and Thermodynamic Study of Diesel Combustion in a Rapid Compression Machine", SAE Paper No. 810259.
- (12) 三輪恵, 李新和, 池上詢, 1983, "ディーゼル噴霧の發達と熱分解", 日本機械學會講演論文集, No. 830~3, 1-2.
- (13) 安秀吉, 1982, "畫像解析法よるディーゼル噴霧火炎に関する研究", 東京工大 博士學位 論文.